



PERÚ

Ministerio
del Ambiente

Servicio Nacional de
Meteorología e Hidrología
del Perú - SENAMHI

SUBDIRECCIÓN DE
PREDICCIÓN CLIMÁTICA



*"Decenio de la Igualdad de Oportunidades para Mujeres y Hombres"
"Año de la Esperanza y el Fortalecimiento de la Democracia"*

INFORME TÉCNICO SENAMHI-ENFEN N°03-2026 MARZO 2026 Y CONDICIONES ACTUALES DE ABRIL 2026

Componente Atmosférica: Monitoreo de Condiciones El Niño y Pronóstico Subestacional RESUMEN

En el Pacífico oriental (región Niño 1+2), el ICEN centrado en febrero de 2026 registró un valor de +0.42 °C (condición neutra), mientras que el valor mensual de marzo alcanzó +0.82 °C (ERSSTv5), evidenciando una tendencia hacia el incremento sustancial de las anomalías de la TSM en esta región, asociado al arribo de ondas de Kelvin cálidas y debilitamiento de vientos costeros.

A partir de abril, a nivel diario, persisten las anomalías positivas de TSM, principalmente en la región Niño 1+2 a lo largo de la costa del Perú, superando temporalmente el umbral de +1.3°C (según datos de OISST y OSTIA). Según el ensemble de modelos del C3S, se prevé un incremento de las anomalías de TSM desde mayo hasta setiembre, con una extensión del calentamiento hacia el Pacífico central, por lo que el evento El Niño costero podría persistir en estos meses, y según los modelos, se podría configurar un evento El Niño de tipo canónico.

Durante marzo de 2026, la circulación de Walker presentó, en promedio, subsidencia en la región norte del Perú, lo que sumado a la disminución de humedad en niveles medios, favoreció déficits de precipitación. Este patrón cambió ligeramente del 11 al 20 de abril, con un episodio de Oscilación Madden Julián que favoreció precipitaciones localizadas principalmente en la sierra norte.

Durante marzo de 2026, el Anticiclón del Pacífico Sur (APS) presentó debilitamientos y desplazamientos hacia el oeste respecto de su posición climática. Esta configuración favoreció episodios de disminución de los vientos costeros, principalmente en la costa central y sur del Perú. Asimismo, en conjunto con el arribo de ondas de Kelvin cálidas, contribuyó al incremento de las anomalías de la TSM en la región Niño 1+2. En lo que va de abril, se han dado episodios tanto de fortalecimiento como de debilitamiento del APS, sin embargo, el calentamiento de la TSM a lo largo de la costa persistió por el efecto de las ondas de Kelvin cálidas. De acuerdo con el pronóstico de los modelos del C3S, se proyecta una disminución de presión en la posición climática del APS, principalmente en los meses de mayo a setiembre de 2026, lo que podría reducir la intensidad de los vientos alisios y favorecer incrementos de las anomalías de TSM en la región Niño 1+2, en coherencia con el desarrollo del evento El Niño. Sin embargo, considerando la barrera de predictibilidad, los modelos pueden mostrar cambios a lo largo del año.



*"Decenio de la Igualdad de Oportunidades para Mujeres y Hombres"
"Año de la Esperanza y el Fortalecimiento de la Democracia"*

1. TEMPERATURA SUPERFICIAL DEL MAR EN EL PACÍFICO ECUATORIAL Y PERSPECTIVAS

Desde el 11 al 28 de marzo 2026, las anomalías de la TSM en la región Niño 1+2, según el producto OSTIA, han mostrado un incremento progresivo, principalmente frente a la costa norte. Asimismo, entre el 1 al 10 y 11 al 20 de abril las anomalías cálidas persistieron en la región Niño 1+2 con una mayor extensión y se empezaron a desarrollar núcleos cálidos hacia la costa central y sur (ver **Figuras 1a, 1b, 1c, 1d y 2**).

Por otro lado, los datos del producto OISSTv2.1¹ evidenciaron un incremento de las anomalías de TSM en la región Niño 1+2 en lo que va de abril, pasando de +1.2 °C (29 marzo – 04 de abril 2026) a +1.5 °C (05 – 11 de abril 2026) y posteriormente a +1.8 °C (12 – 18 de abril 2026).

Actualmente (21 de abril), se observa una persistencia de las anomalías de la TSM, por encima del umbral de +1.3°C (cálida moderada) con valores de +1.78 °C en OSTIA y +1.84 °C en OISST. Desde la perspectiva del pronóstico subestacional, el modelo MERCATOR sugiere que hacia inicios de mayo las anomalías de TSM en la región Niño 1+2 podrían persistir por encima del umbral de +1.3°C (ver **Figura 2**).

Respecto al Pacífico Central (región Niño 3.4), durante marzo persistieron anomalías negativas de TSM, manteniéndose dentro de la categoría neutral, con una tendencia lineal hacia su incremento según los productos OSTIA y OISST. En lo que va de abril, se evidenció un sostenido aumento de las anomalías de TSM en la región Niño 3.4, las cuales han superado el umbral de +0.5°C, alcanzando +0.66°C en OSTIA y +0.71°C en OISST respectivamente. Desde la perspectiva de pronóstico, hacia inicios de marzo de 2026, el modelo MERCATOR sugiere el incremento de anomalías de TSM en el Pacífico Centra0 persistiendo por encima del umbral de +0.5°C (ver **Figura 3**).

Finalmente, respecto a las perspectivas de la TSM para el período abril–agosto de 2026, el pronóstico C3S multi-sistema indica una predominancia de condiciones cálidas en el Pacífico Oriental en mayo (condición que ya se viene dando desde marzo y abril), con un incremento sostenido de las anomalías de TSM a lo largo de la costa que persistiría, por lo pronto hasta setiembre del 2026 (según los modelos del C3S, pero en otros modelos la proyección es hasta enero del 2027). Este calentamiento se extendería hacia el Pacífico central en mayo del 2026, con valores de hasta +1.0 °C y +2.0 °C. De consolidarse este patrón, según los modelos del C3S, podría generarse un evento El Niño canónico (ver **Figura 4**).

¹ OISSTv2.1 data TSM Semanal: <https://www.cpc.ncep.noaa.gov/data/indices/wksst9120.for>

"Decenio de la Igualdad de Oportunidades para Mujeres y Hombres"
"Año de la Esperanza y el Fortalecimiento de la Democracia"

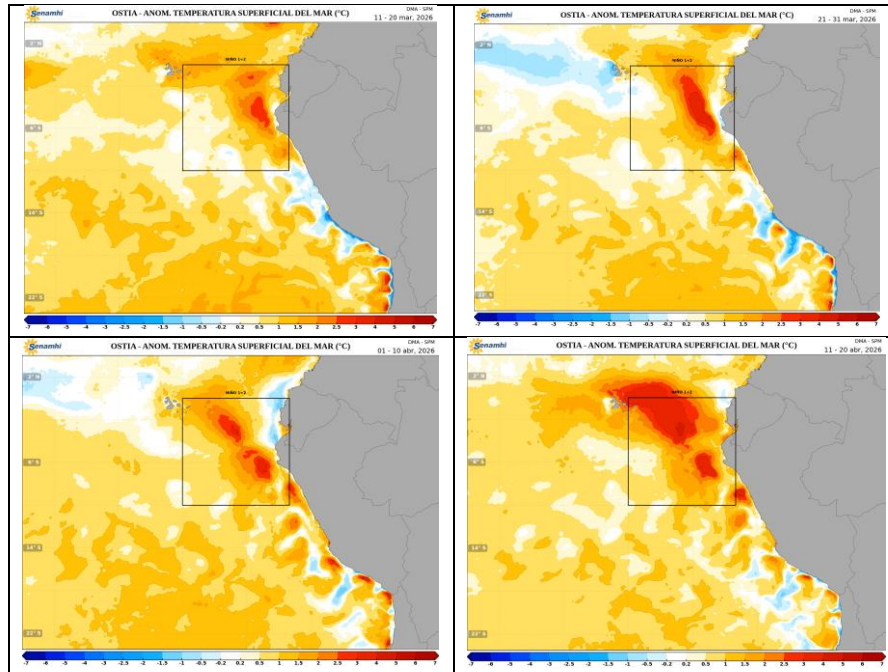


Figura 1. Promedios decadales de la anomalía de la temperatura superficial del mar (TSM) en el Pacífico Oriental del 11 de marzo al 20 de abril de 2026 (1a, 1b, 1c y 1d). Climatología 1981-2010. Fuente satelital: OSTIA. Procesamiento: SPM-SENAMHI.

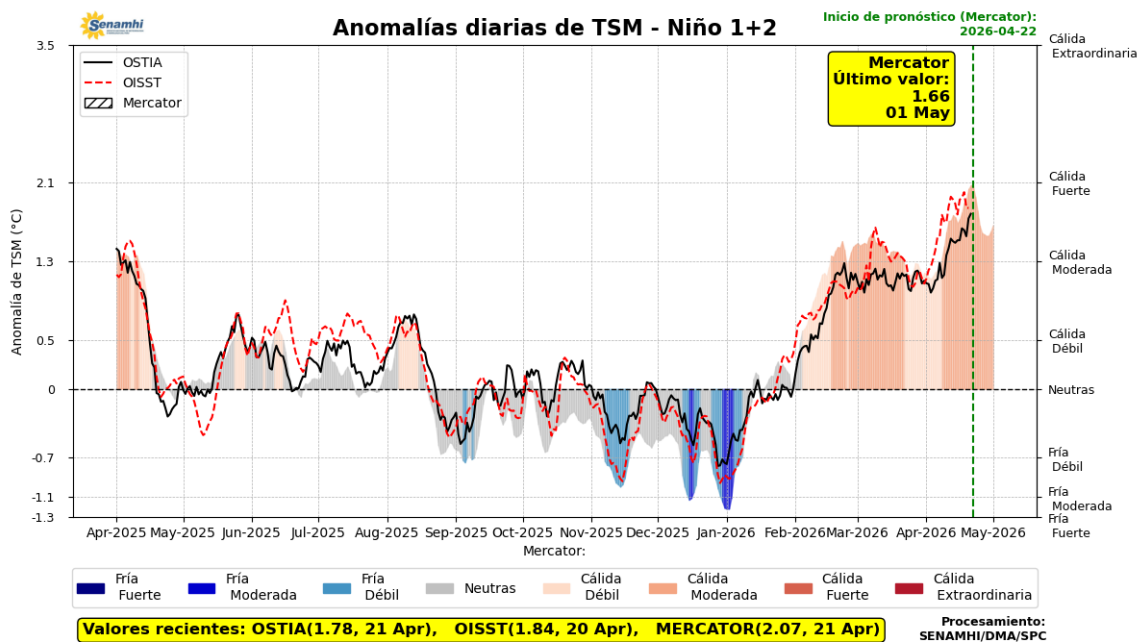


Figura 2. Anomalías diarias de la temperatura superficial del mar (TSM) en la región Niño 1+2 del 01 de abril 2025 al 21 de abril de 2026. Pronóstico del 22 de abril al 01 de mayo 2026. Fuente: OSTIA, OISST, MERCATOR. Procesamiento: SPC-SENAMHI.

"Decenio de la Igualdad de Oportunidades para Mujeres y Hombres"
"Año de la Esperanza y el Fortalecimiento de la Democracia"

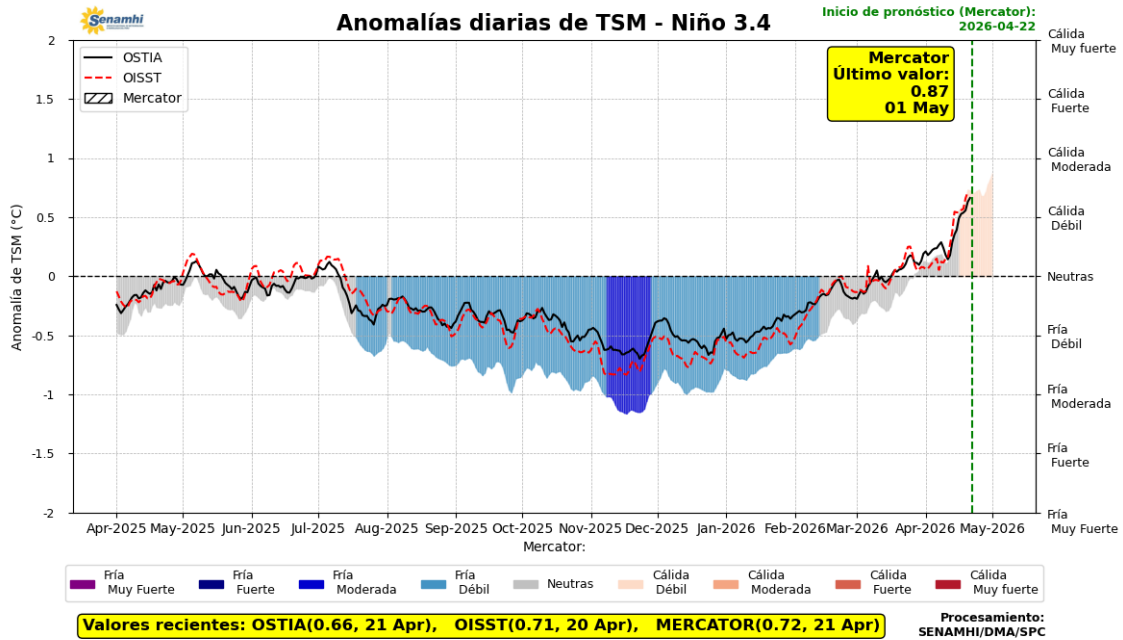


Figura 3. Anomalías diarias de la temperatura superficial del mar (TSM) en la región Niño 3.4 del 01 de abril 2025 al 21 de abril de 2026. Pronóstico del 22 de abril al 01 de mayo 2026. Fuente: OSTIA, OISST, MERCATOR. Procesamiento: SPC-SENAMHI.

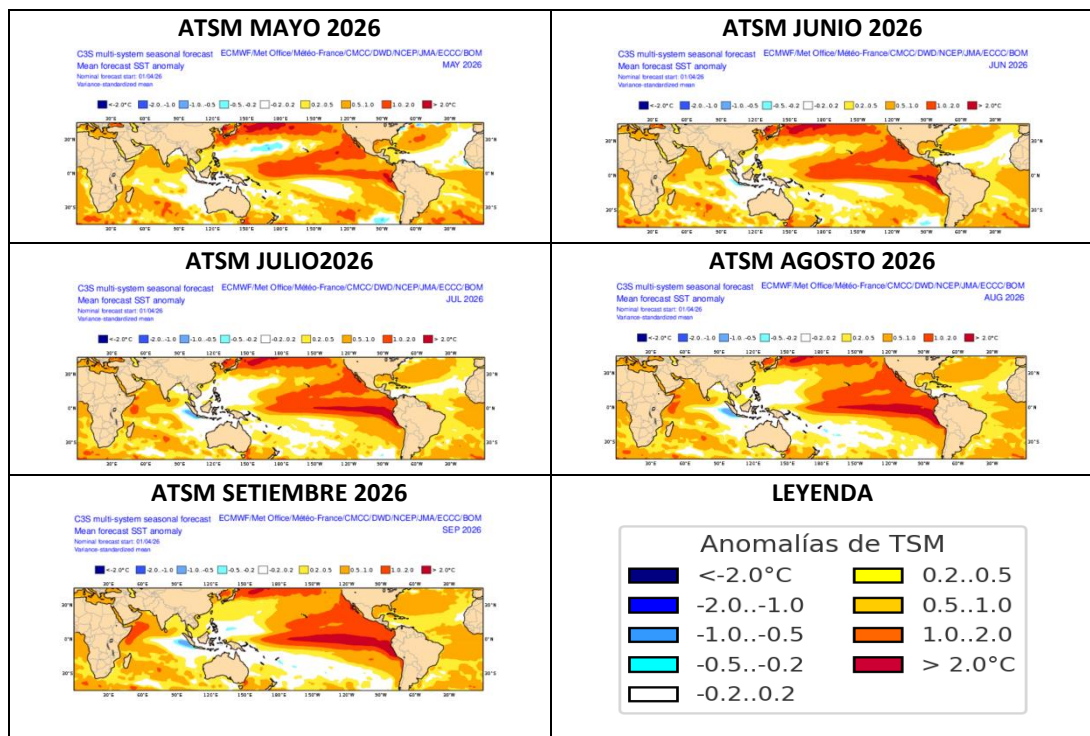


Figura 4. Perspectivas mensuales de anomalías de TSM para el Pacífico ecuatorial del C3S multi-system seasonal forecast. Período: mayo – setiembre 2026. Modelos: ECMWF/Met Office/Meteo-France/CMCC/DWD/NCEP/JMA/ECCC/BOM. Fuente: Copernicus.



*"Decenio de la Igualdad de Oportunidades para Mujeres y Hombres"
"Año de la Esperanza y el Fortalecimiento de la Democracia"*

2. ÍNDICES ENSO

En marzo de 2026, los índices de monitoreo del Pacífico ecuatorial, como el SOI y el EQSOI, registraron valores de +1.2 y -0.1, respectivamente. El SOI mantuvo una tendencia hacia valores positivos durante dieciocho meses consecutivos, mientras que el EQSOI ya presenta un valor negativo que evidencia esa transición hacia el calentamiento en el Pacífico Central (ver **Figuras 3 y 5**). Por otro lado, el OLR registró un valor positivo de +0.4 en marzo, con una disminución de 0.8 respecto al mes de febrero, lo que sugiere una posible transición hacia condiciones más favorables a la convección sobre el Pacífico central, coherentes con la presencia de anomalías positivas de TSM (ver **Figuras 3 y 5**).

Respecto a las anomalías de TSM en el Pacífico central, el último valor del ONI centrado en febrero alcanzó el valor de -0.2°C^2 (valor temporal), persistiendo en una condición neutra, y evidenciando una tendencia hacia el incremento de anomalías de TSM en la región Niño 3.4 (ya que el índice se incrementó en 0.2°C respecto al ONI de enero). Además, la anomalía mensual de marzo 2025 según el ERSSTv5² reportó un valor de -0.06°C (sujeto a actualizaciones) y, a nivel semanal, del 05 al 11 de abril y del 12 al 18 de abril el producto OISSTv2.1 indicó anomalías de $+0.2^{\circ}\text{C}$ Y $+0.5^{\circ}\text{C}$ respectivamente, evidenciando un incremento de anomalías de TSM.

² ONI: https://origin.cpc.ncep.noaa.gov/products/analysis_monitoring/ensostuff/ONI_v5.php

*"Decenio de la Igualdad de Oportunidades para Mujeres y Hombres"
"Año de la Esperanza y el Fortalecimiento de la Democracia"*

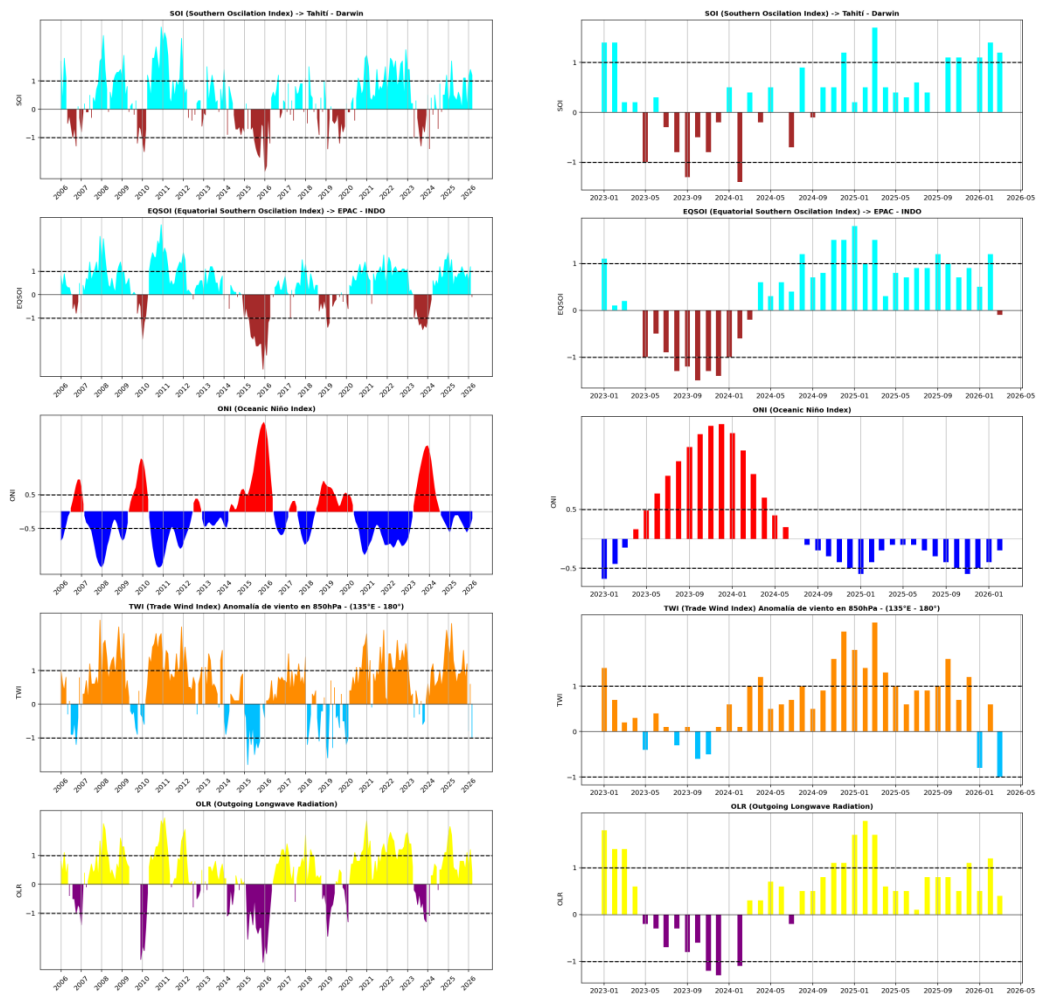


Figura 5. Índices mensuales asociados al ENSO (El Niño Southern Oscillation) desde marzo de 2006 hasta marzo de 2026 (izq.) y marzo del 2023 a marzo del 2026 (der.) con media móvil de 3 meses. Procesamiento: SPC/SENAMHI.

3. CIRCULACIÓN ECUATORIAL

En promedio, durante marzo de 2026 se observaron patrones subsidentes entre los 81°W – 71°W y 0° – 5°S , asociados a la región norte del Perú, los cuales se extendieron desde niveles bajos (850 hPa) hasta niveles medios (250 hPa) lo que habría limitado el desarrollo vertical de la nubosidad y, en consecuencia, la ocurrencia de superávits de precipitación principalmente en la costa, sierra norte y parte de la selva norte. Asimismo, se registró una disminución en los valores de humedad relativa (HR) en niveles medios (400 -600 hPa), cercanos a 50% (ver **Figuras 6a y 17a**).

Posteriormente, en lo que va de abril (1-17 de abril), persistieron los patrones más subsidentes principalmente hacia la vertiente noroccidental, mientras que en la vertiente nororiental se presentaron algunos patrones convectivos y mayor humedad relativa que favoreció lluvias localizadas en algunos sectores de la sierra norte oriental y selva norte (ver **Figuras 6b, 17b y 17c**).

"Decenio de la Igualdad de Oportunidades para Mujeres y Hombres"
"Año de la Esperanza y el Fortalecimiento de la Democracia"

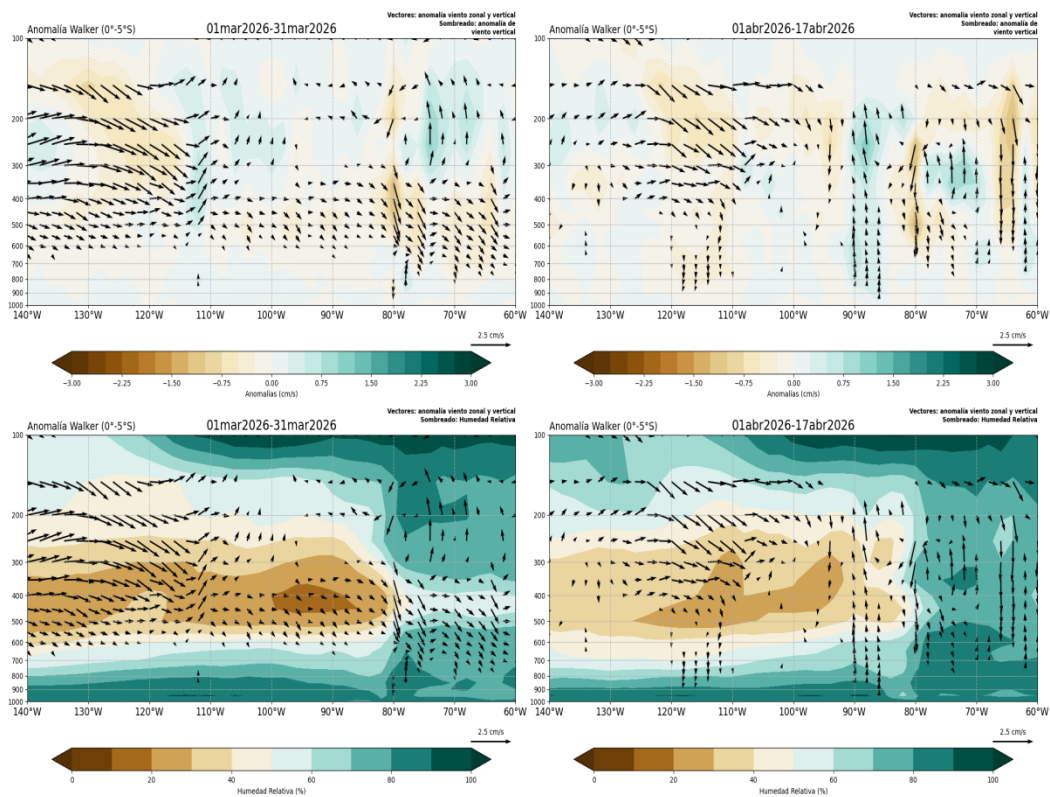


Figura 6. Análisis de la circulación atmosférica (Walker) en el HS ($0^{\circ} - 5^{\circ}\text{S}$) para marzo de 2026 (izquierda) y lo que va de abril del 2026 (derecha) con vientos (vectores), anomalías de velocidad vertical (sombreado imágenes superiores) y humedad relativa (sombreado imágenes inferiores).

Fuente: ECMWF. Procesamiento: SPC/SENAMHI.

4. CIRCULACIÓN EN SUPERFICIE

El Anticiclón del Pacífico Sur (APS) presentó en el mes de marzo de 2026, episodios de desplazamiento hacia el oeste de su posición climatológica, así como debilitamientos en su núcleo. Estas configuraciones favorecieron episodios de debilitamiento de los vientos costeros durante marzo (en la costa central y sur), lo que contribuyó al incremento de las anomalías de la TSM a lo largo de la costa, propiciando incrementos de la temperatura mínima en la costa peruana (ver **Figuras 1, 7, 10 y 18a**).

Entre el 1 y el 10 de abril, el APS se situó cercano a su posición climática, con una intensificación significativa entre el 6 y el 10 de abril, lo que propició un breve incremento de vientos en la costa sur, sin embargo, las anomalías de TSM costeras persistieron por encima de lo normal debido al efecto de las ondas de Kelvin cálidas. Posteriormente, entre el 11 al 15 y el 16 al 17 de abril el APS se ubicó al oeste de su posición climatológica, acompañado de un debilitamiento de la presión en su núcleo. Esta configuración favoreció el debilitamiento de los vientos costeros, lo que propició el incremento de anomalías de TSM a lo largo de la costa y en la región Niño 1+2 (ver **Figuras 1, 2, 7 y 10**).

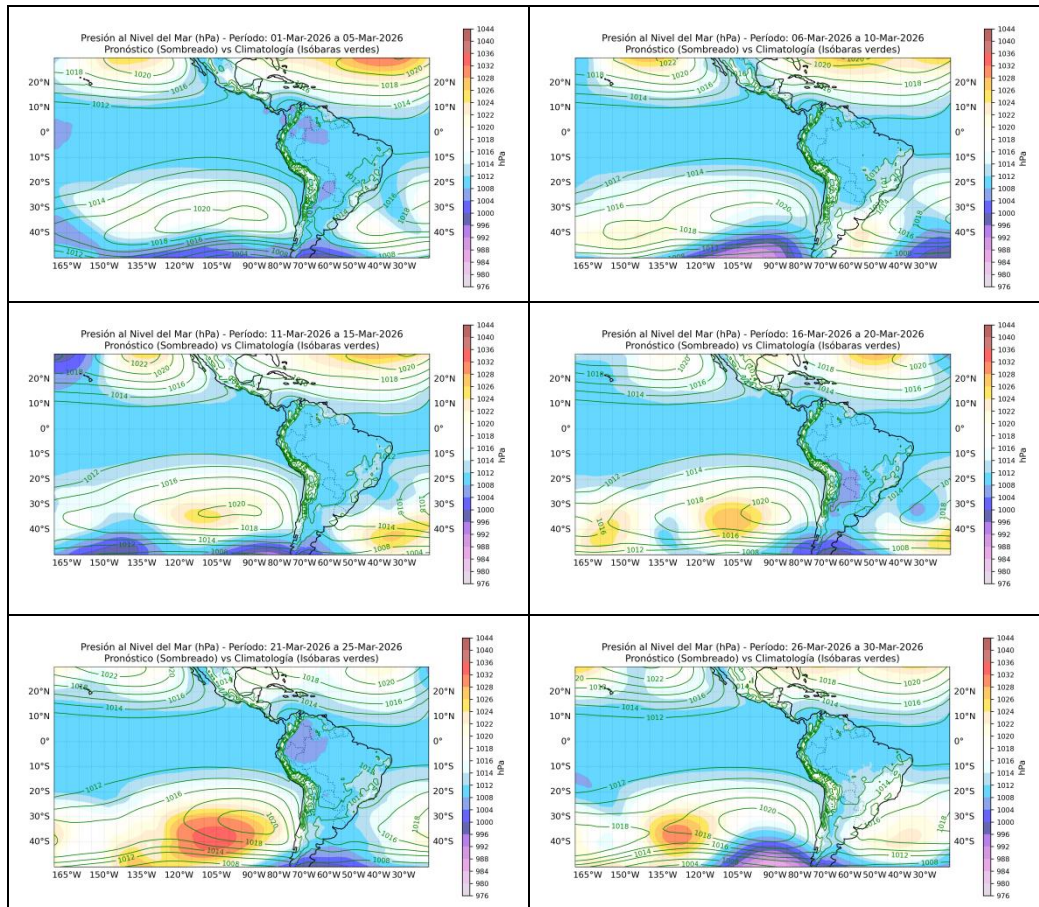
De acuerdo con el pronóstico, entre el 21 de abril hasta el 5 de mayo se prevé una migración del APS cercano a su posición climatológica, lo que propiciaría un incremento del gradiente de presión APS–costa, (principalmente entre el 21 al 30 de abril) y, en



"Decenio de la Igualdad de Oportunidades para Mujeres y Hombres"
"Año de la Esperanza y el Fortalecimiento de la Democracia"

consecuencia, una breve intensificación de los vientos costeros, que se manifestarán principalmente en la costa central y sur del Perú (ver Figuras 8, 9 y 10), por lo que se prevé una breve disminución de las anomalías de TSM en la región Niño 1+2 tal como lo indica MERCATOR, sin embargo, se espera que posteriormente se incrementen nuevamente las anomalías de TSM (ver Figuras 1, 2, 8, 9 y 10).

En cuanto a las perspectivas mensuales, para los meses de mayo a setiembre 2026 se prevén anomalías de presión entre negativas y neutras en la ubicación climatológica del APS. Este comportamiento reflejaría una probable reducción del gradiente de presión entre el APS y la costa, favoreciendo el incremento de anomalías de TSM costeras. Asimismo, hay una predominancia de anomalías de vientos del oeste desde el Pacífico occidental hacia el Pacífico central. Estas condiciones evidencian un patrón consistente con el aumento de las anomalías de la TSM y el posible desarrollo de un evento El Niño canónico, tal como se observa en los escenarios mensuales de los ensembles del sistema C3S (ver Figuras 4 y 11).



*"Decenio de la Igualdad de Oportunidades para Mujeres y Hombres"
"Año de la Esperanza y el Fortalecimiento de la Democracia"*

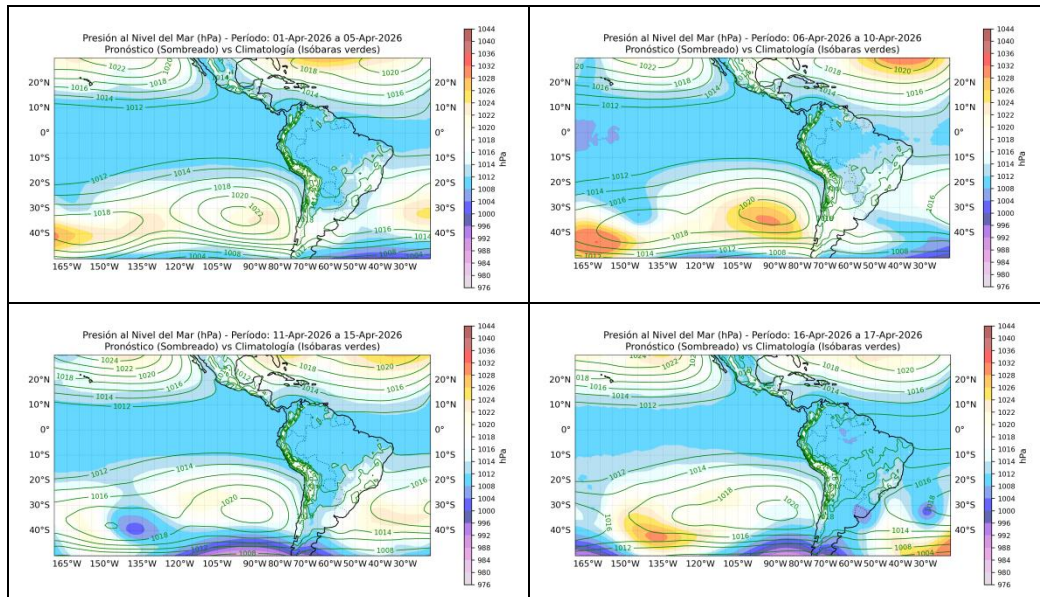


Figura 7. Promedio pentadal de la presión atmosférica reducida a nivel del mar (sobreado) y su climatología (contornos verdes). Período: 01 de marzo al 17 de abril 2026. Fuente: ECMWF. Procesamiento: SPC - SENAMHI.

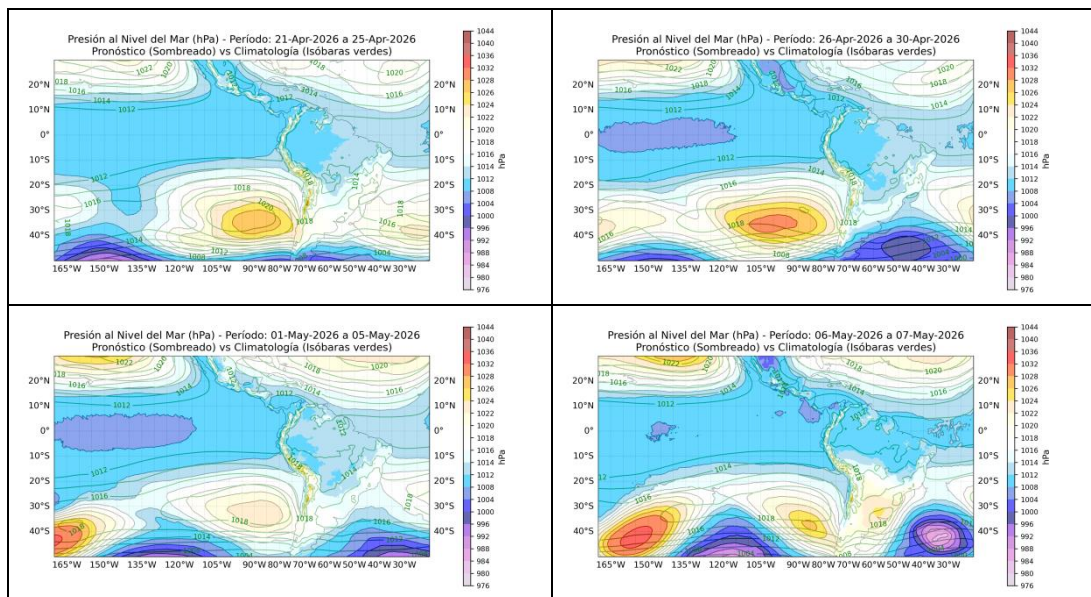


Figura 8. Promedio pentadal de la presión atmosférica reducida a nivel del mar (sobreado) y su climatología (contornos verdes). Pronóstico: 21 de abril al 07 de mayo 2026. Fuente: ECMWF. Procesamiento: SPC - SENAMHI.

"Decenio de la Igualdad de Oportunidades para Mujeres y Hombres"
"Año de la Esperanza y el Fortalecimiento de la Democracia"

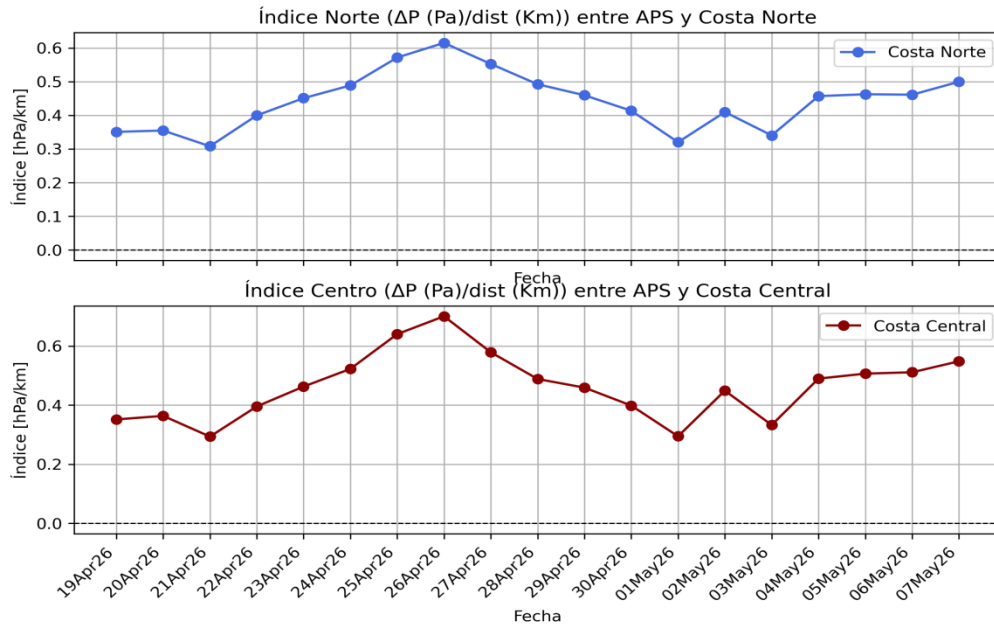


Figura 9. Relación entre el gradiente del núcleo del APS (Pa) y la distancia (km) del APS a la (a) costa norte y (b) costa central. Condiciones actuales: 19 al 21 de abril 2026. Pronóstico: 22 abril al 07 mayo de 2026. Fuente: ECMWF. Procesamiento: SPC - SENAMHI.

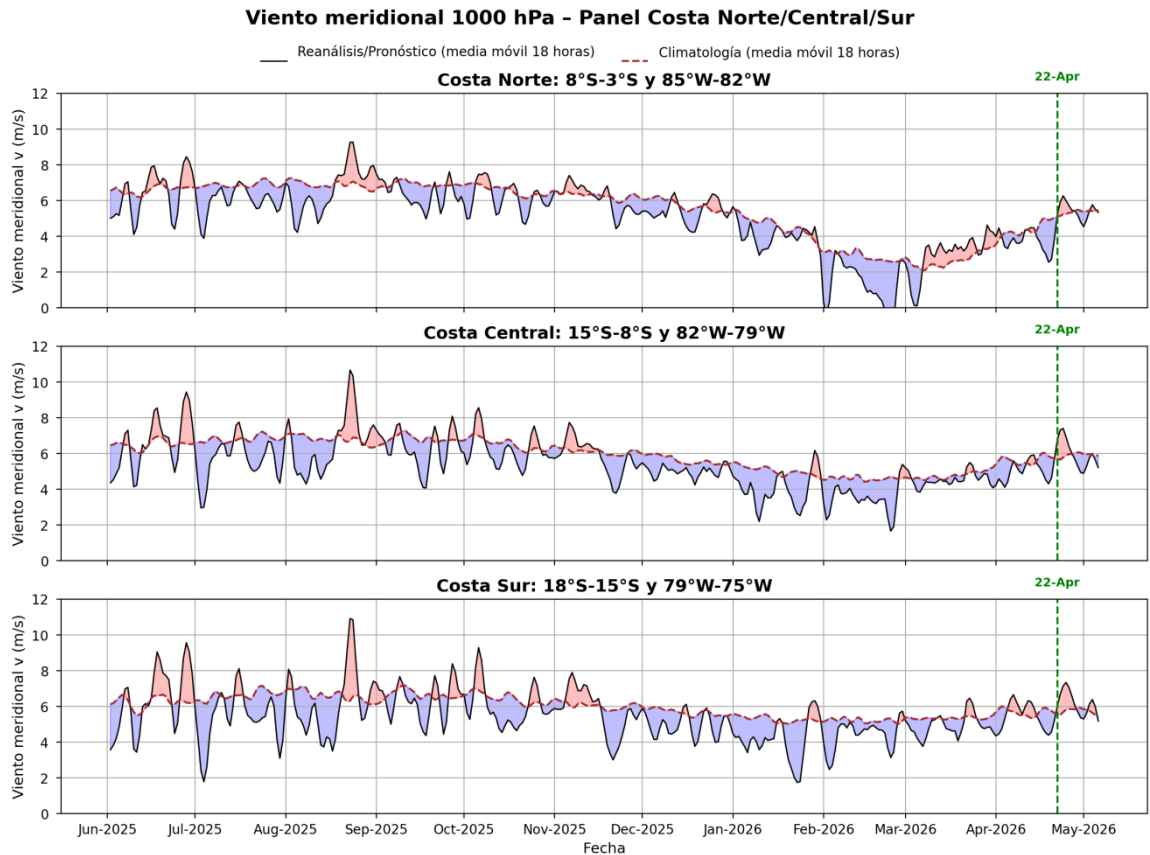


Figura 10. Magnitud de viento meridional a 1000 hPa (línea negra) y climatología (línea roja punteada). Las áreas rojas y azules muestran intensificación y disminución de vientos meridionales respectivamente. Análisis: 01 de junio 2025 al 21 de abril del 2026. Pronóstico: 22 de abril al 07 de mayo de 2026. Fuente ECMWF. Procesamiento: SPC-SENAMHI.

"Decenio de la Igualdad de Oportunidades para Mujeres y Hombres"
"Año de la Esperanza y el Fortalecimiento de la Democracia"

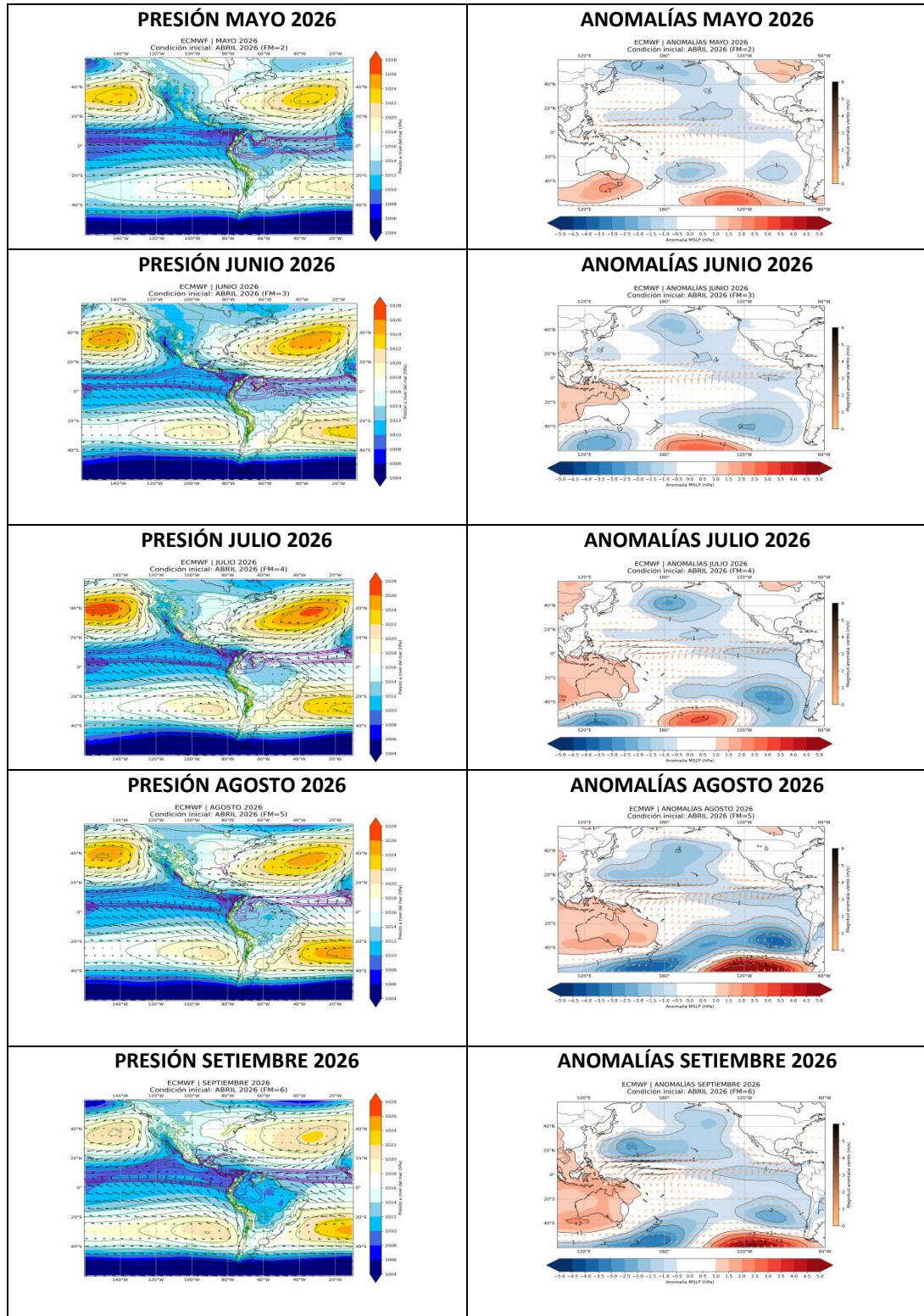


Figura 11. Perspectivas mensuales de la presión a nivel del mar y sus anomalías correspondientes en el Pacífico Oriental. Período: mayo – setiembre 2026. Fuente ECMWF: Procesamiento: SPC-SENAMHI.



*"Decenio de la Igualdad de Oportunidades para Mujeres y Hombres"
"Año de la Esperanza y el Fortalecimiento de la Democracia"*

5. VARIABILIDAD INTRAESTACIONAL Y PERSPECTIVAS SUBESTACIONALES

En el mes de marzo 2026, en la alta tropósfera (200 hPa), sobre la región ecuatorial y la franja tropical, ha persistido mayormente condiciones anómalamente convergentes de velocidad potencial, abarcando gran parte del Perú (5°N–5°S, 90°W–60°W y 5°S–15°S, 90°W–60°W). Esta configuración podría haber limitado la convección hacia la región norte, central occidental y sur del Perú donde predominaron déficits de precipitación. Asimismo, los patrones subsidentes también propiciaron estos déficits (ver **Figuras 6a, 12a, 12b y 17a**).

Posteriormente, en lo que va de abril, se tuvo un episodio de migración de la Oscilación Madden Julian (MJO) de inicios a mediados de abril que propició convección, mayor desarrollo vertical de nubosidad y lluvias principalmente hacia la sierra sur oriental, sierra central, selva sur y parte de la selva norte y sierra norte (ver **Figuras 6b, 12a, 12b, 17b y 17c**).

Desde la fecha de pronóstico (22 de abril) hasta inicios de mayo, se prevé el predominio de condiciones de velocidad potencial convergentes, las cuales favorecerían el desarrollo de subsidencia, así como una menor nubosidad y reducción de las lluvias. Finalmente, hacia mediados y fines de mayo, se anticipan condiciones de velocidad potencial más divergentes, que podrían propiciar un incremento de la nubosidad y la ocurrencia de lluvias localizadas, en el contexto de la climatología de mayo, periodo en el que se esperan menores acumulados de precipitación y una transición hacia la temporada de menores lluvias. Cabe señalar que la evolución de estas condiciones estará sujeta a la interacción entre la dinámica atmosférica, el estado del océano y la componente estacional, lo que podría modular la intensidad y extensión de dichos eventos (ver **Figuras 12a y 12b**).

En niveles bajos (850 hPa) y dentro de la franja ecuatorial (5°S–5°N), durante marzo predominó la presencia de anomalías de vientos del oeste, principalmente sobre el Pacífico occidental y parte del Pacífico central (150°E–150°W). Este patrón favoreció el incremento de anomalías de la temperatura superficial del mar (TSM) en la región Niño 3.4, dentro de la categoría neutra (ver **Figuras 3 y 13**).

Posteriormente, en lo que va de abril, se observó la persistencia y la mayor extensión de pulsos de vientos del oeste sobre el Pacífico occidental, el cual hacia mediados a fines de abril se extendió hacia el Pacífico Central, lo que ha propiciado la tendencia al incremento de anomalías de TSM en la región Niño 3.4 alcanzando el umbral de +0.5°C (ver **Figuras 3 y 13**).

Finalmente, desde la fecha de inicio del pronóstico (25 de abril), se prevé que el pulso de vientos del oeste en el Pacífico occidental se intensifique, extendiéndose y abarcando una mayor área del Pacífico central, favoreciendo incrementos en las anomalías de TSM en la región Niño 3.4. En concordancia con los modelos del sistema C3S, este comportamiento sugiere una evolución hacia condiciones de calentamiento en el Pacífico central (ver **Figuras 4 y 13**).

"Decenio de la Igualdad de Oportunidades para Mujeres y Hombres"
"Año de la Esperanza y el Fortalecimiento de la Democracia"

En niveles altos de la tropósfera (200 hPa), durante marzo de 2026, en el dominio 5°N–5°S y 90°W–60°W —asociado a la región norte del Perú— se presentaron anomalías de vientos del oeste. Estas condiciones habrían favorecido una menor advección de humedad, lo que propició déficits de precipitación hacia la región norte del Perú (ver Figuras 14 y 17a).

Posteriormente, durante lo transcurrido de abril, se dieron tanto anomalías de vientos del este como del oeste, evidenciando un panorama más favorable de advección de humedad y lluvias respecto a marzo, por lo que, se presentaron lluvias localizadas hacia la sierra norte y parte de la selva norte alta y baja (ver Figuras 14, 17b y 17c).

A partir de la fecha de inicio del pronóstico (22 de abril), se prevé una breve intensificación de pulsos del este, para luego predominar anomalías de vientos del oeste, lo cual podría limitar la advección de humedad y, en consecuencia, reducir los acumulados de precipitación, no obstante, la dinámica atmosférica en niveles medios y bajos, así como las condiciones de la TSM en su conjunto, también podrían desempeñar un papel importante en la modulación del comportamiento de la nubosidad y lluvias (ver Figura 14).

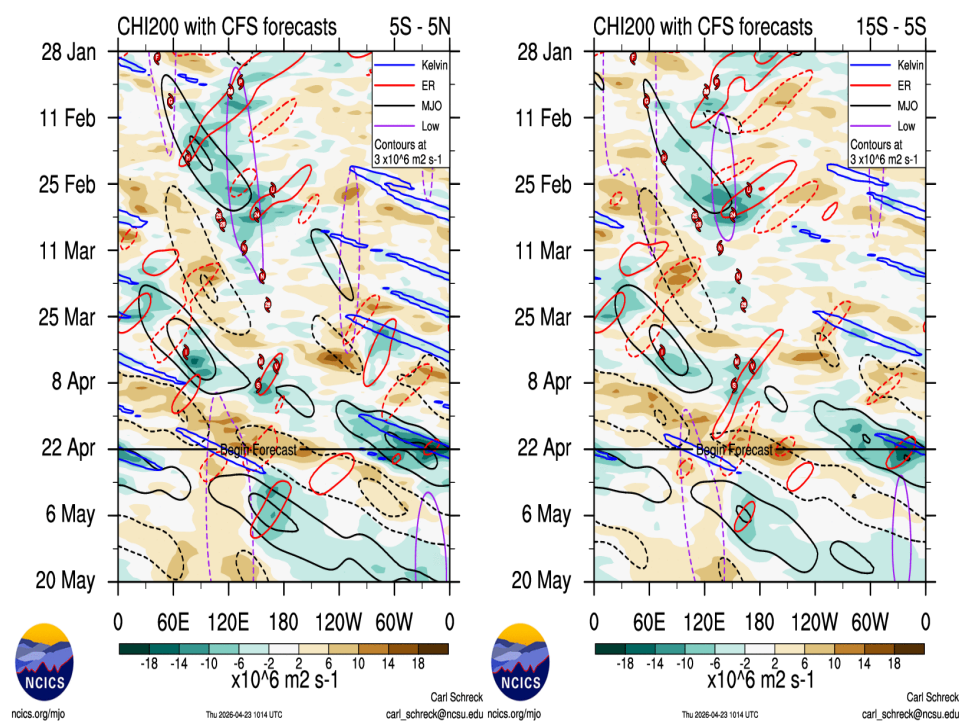


Figura 12. Anomalía de la velocidad potencial en 200 hPa entre los (a) 5°N - 5°S y los (b) 5°S – 15°S a lo largo de la línea ecuatorial. Análisis: 28 enero al 21 abril del 2026. Pronóstico: 22 de abril al 20 de mayo 2026. Anomalías positivas (marrón), anomalías negativas (verdes). La línea negra indica la fecha en que inicia el pronóstico de acuerdo al modelo CFS. Fuente: NCICS-NOAA.

"Decenio de la Igualdad de Oportunidades para Mujeres y Hombres"
"Año de la Esperanza y el Fortalecimiento de la Democracia"

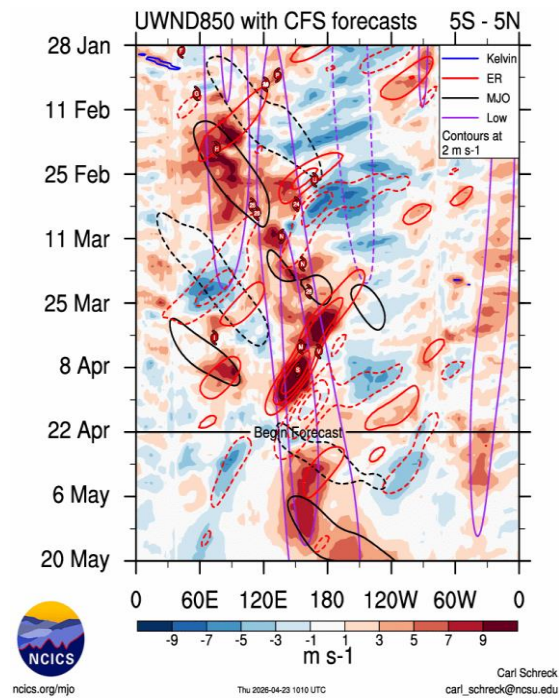


Figura 13. Anomalía del viento zonal en 850 hPa entre los 5°N y 5°S a lo largo de la línea ecuatorial. Análisis: 28 enero al 21 abril del 2026. Pronóstico: 22 de abril al 20 de mayo 2026. Anomalías positivas (rojo), anomalías negativas (azul). La línea negra indica la fecha en que inicia el pronóstico de acuerdo al modelo CFS. Fuente: NCICS-NOAA.

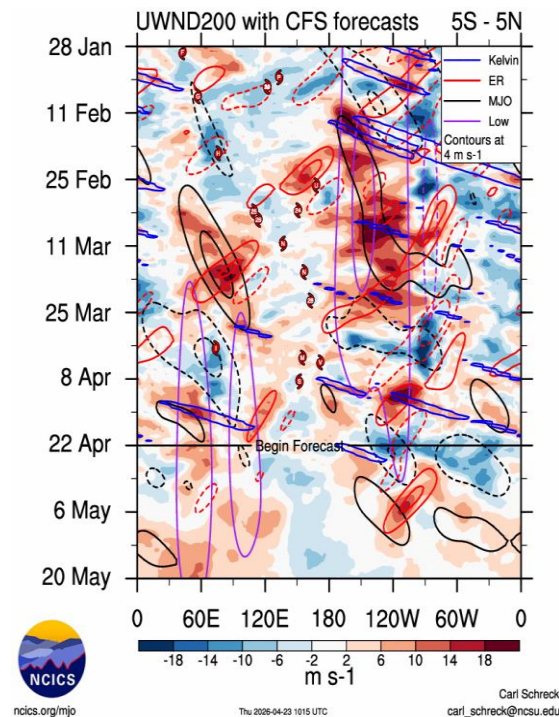


Figura 14. Anomalía del viento zonal en 200 hPa entre los 5°N y 5°S a lo largo de la línea ecuatorial. Análisis: 28 enero al 21 abril del 2026. Pronóstico: 22 de abril al 20 de mayo 2026. Anomalías positivas (rojo), anomalías negativas (azul). La línea negra indica la fecha en que inicia el pronóstico de acuerdo al modelo CFS. Fuente: NCICS-NOAA.

"Decenio de la Igualdad de Oportunidades para Mujeres y Hombres"
"Año de la Esperanza y el Fortalecimiento de la Democracia"

6. CONDICIONES ATMOSFÉRICAS REGIONALES

En lo que va de abril se registraron anomalías de agua precipitable positivas y localizadas principalmente hacia la vertiente oriental del Perú, con valores predominantemente de +2 mm a +8 mm, lo que ha favorecido superávits de lluvias principalmente en la región mencionada y en parte de la sierra central occidental (ver **Figuras 15, 17b y 17c**).

En cuanto al pronóstico para el periodo del 23 de abril al 20 de mayo, se prevé la persistencia de anomalías positivas de agua precipitable, principalmente sobre la vertiente oriental y parte de la región norte del Perú. Bajo una dinámica atmosférica favorable, estas condiciones podrían propiciar mayor nubosidad y lluvias localizadas en el contexto del mes de mayo, en el cual se presenta la transición hacia la temporada de estiaje (ver **Figura 15**).

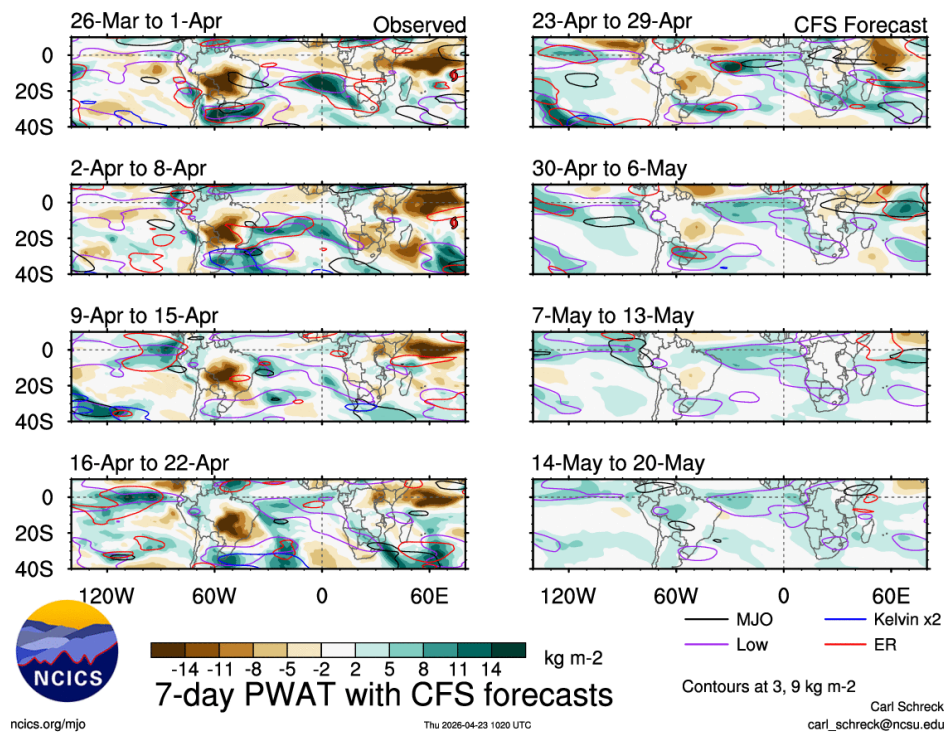


Figura 15. Anomalía del agua precipitable ($\text{Kg} \cdot \text{m}^2$) (sombreado) para Perú. Análisis del 26 de marzo al 22 de abril 2026. Pronóstico del 23 de abril al 20 de mayo 2026. El panel derecho indica el pronóstico del CFS. Fuente: NCICS - NOAA.

7. MONITOREO TERMOPLUVIOMÉTRICO

Durante marzo de 2026, persistió el incremento tanto de las temperaturas máximas como mínimas, debido al incremento de la TSM a lo largo de la costa (producto del arribo de ondas de Kelvin cálidas y debilitamiento de vientos costeros). Los mayores incrementos de la temperatura máxima se mantuvieron en Jayanca y Campo de Marte (entre +1.5 y +3 °C), mientras que en la temperatura mínima los mayores incrementos se registraron a lo largo de la costa, particularmente en las estaciones de Jayanca, Talla, Huarney, Fonagro y La Yarada, con anomalías positivas de aproximadamente +1.5 a +2

*"Decenio de la Igualdad de Oportunidades para Mujeres y Hombres"
"Año de la Esperanza y el Fortalecimiento de la Democracia"*

°C. Posteriormente, durante abril de 2026, se registró un incremento sustancial en las anomalías de las temperaturas máximas y mínimas, con un mayor aumento hacia la segunda década del mes a lo largo de la costa. Los valores más elevados de anomalías de temperatura del aire se observaron en las estaciones de Jayanca y Campo de Marte, donde se reportaron anomalías de temperatura máxima de aproximadamente +4.0 °C a +4.5 °C (ver Figuras 1, 2, 10 y 16).

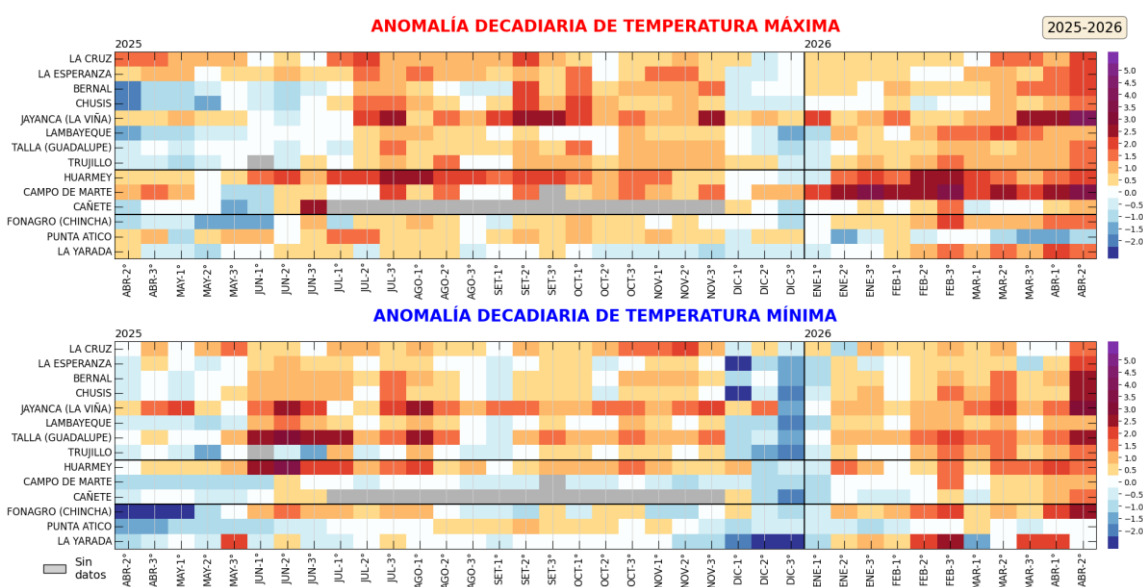


Figura 16. Anomalía de las temperaturas del aire máxima (a) y mínima (b) en las estaciones costeras del SENAMHI de la 2da década de abril 2025 a la 2da década de abril 2026. Fuente y procesamiento: SENAMHI.

Durante marzo de 2026, predominaron déficits de precipitación en gran parte del territorio nacional (a excepción de la sierra central oriental), con anomalías de hasta -60 % a -100 %, principalmente en la región norte, la sierra central occidental y la sierra sur. Estos déficits estuvieron asociados, en gran medida, a la predominancia de subsidencia sobre la región norte, a condiciones de velocidad potencial más convergentes y a episodios de anomalías de vientos del oeste en la alta tropósfera (ver Figuras 6a, 12a, 14a y 17a). Posteriormente, hacia abril, se configuró un escenario con superávits de precipitación, principalmente en la sierra central, la selva sur, parte de la sierra sur oriental y la selva norte alta, asociados a condiciones dinámicas más favorables para las lluvias (ver Figuras 17b y 17c).

En cuanto a las temperaturas mínimas, durante marzo predominaron condiciones entre normales y cálidas, especialmente en la costa, asociadas al calentamiento del mar; mientras que, en la sierra norte, se registraron anomalías negativas de temperatura mínima vinculadas a una menor nubosidad y precipitación. Hacia la primera década de abril, se presentaron condiciones secas, principalmente en la costa, la sierra norte y la sierra central. En contraste, en la sierra sur oriental se observaron superávits de precipitación, lo que evidenció una mayor nubosidad asociada a incrementos en las temperaturas mínimas del aire. Finalmente, durante la segunda década de abril, se

"Decenio de la Igualdad de Oportunidades para Mujeres y Hombres"
"Año de la Esperanza y el Fortalecimiento de la Democracia"

estableció un patrón más favorable para las lluvias en la sierra central, la selva sur, parte de la sierra sur oriental y la selva norte; en consecuencia, predominaron condiciones cálidas de temperatura mínima en las regiones con mayor nubosidad y precipitación, mientras que en la costa persistieron condiciones cálidas, asociadas al calentamiento de la TSM a lo largo del litoral (ver Figuras 1, 2, 18a, 18b y 18c).

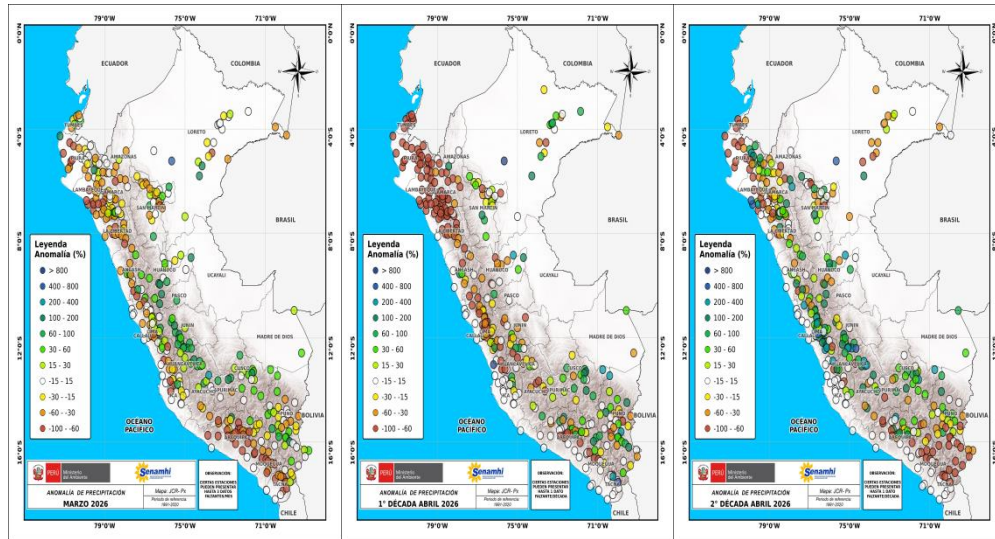


Figura 17. Anomalía de precipitación (%) en marzo 2026 (a), del 1 al 10 de abril 2026 (b) y del 11 al 20 de abril 2026 (c). Climatología 1991-2020. Fuente y Procesamiento: SENAMHI.

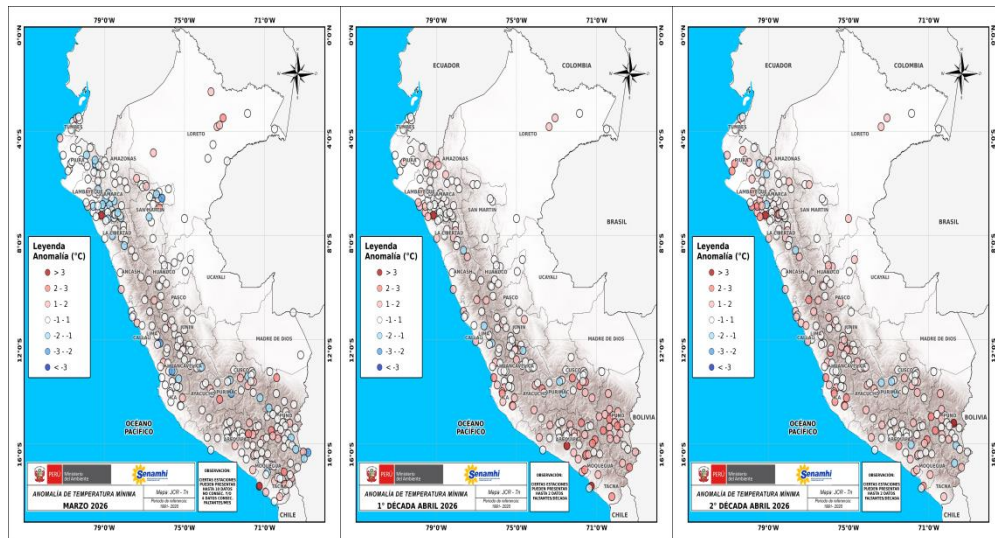


Figura 18. Anomalía de temperatura mínima (°C) en marzo 2026 (a), del 1 al 10 de abril 2026 (b) y del 11 al 20 de abril 2026 (c). Climatología 1991-2020. Fuente y Procesamiento: SENAMHI.



PERÚ

Ministerio
del Ambiente

Servicio Nacional de
Meteorología e Hidrología
del Perú - SENAMHI

SUBDIRECCION DE
PREDICCIÓN CLIMÁTICA



*"Decenio de la Igualdad de Oportunidades para Mujeres y Hombres"
"Año de la Esperanza y el Fortalecimiento de la Democracia"*

Análisis y redacción:

Javier Chiong, Grinia Ávalos, Dora Marín, Nelson Quispe.

Próxima actualización: 21 de mayo de 2026

Se invita a acceder a los siguientes sitios del portal institucional:

Avisos Meteorológicos

<https://www.senamhi.gob.pe/?p=aviso-meteorologico>

Pronósticos climáticos de lluvias, temperaturas máximas y mínima del aire

<https://www.senamhi.gob.pe/?p=pronostico-climatico>

Comunicados ENFEN sobre las condiciones EL NIÑO/LA NIÑA

<https://www.senamhi.gob.pe/?p=fenomeno%2Del%2Dnino>

Boletines informativos

<https://www.senamhi.gob.pe/?p=boletines>

Boletines de sequías

<https://www.senamhi.gob.pe/?p=sequias>

© 2026 SENAMHI-PERÚ Jr. Cahuide 758 Jesús María – Lima; Teléfono: 6-141414 clima@senamhi.gob.pe,

pronosticador@senamhi.gob.pe | www.senamhi.gob.pe

Pronóstico del Tiempo: 51 1 - 6141407 anexo 447

Predicción Climática: 51 1 - 6141414 anexo 475

Lima – Perú